

УДК 577.15: 544.3

# Влияние структуры субстрата и ионов металлов на эффективность гидролиза неповрежденной РНК апуриновой/апиримидиновой эндонуклеазой человека APE1

А. А. Кузнецова, Д. С. Новопашина, О. С. Федорова\*, Н. А. Кузнецов\*

Институт химической биологии и фундаментальной медицины СО РАН, Новосибирск, 630090 Россия

\*E-mail: fedorova@niboch.nsc.ru, nikita.kuznetsov@niboch.nsc.ru

Поступила в редакцию 17.01.2020

Принята к печати 20.03.2020

DOI: 10.32607/actanaturae.10864

**РЕФЕРАТ** Апуриновая/апиримидиновая эндонуклеаза человека APE1 – один из участников системы эксцизионной репарации оснований ДНК. Основной биологической функцией APE1 считается гидролиз фосфодиэфирной связи с 5'-стороны от AP-сайтов. Как показано недавно, APE1 выступает в качестве эндорибонуклеазы, которая может расщеплять мРНК и тем самым контролировать уровень определенных транскриптов. APE1 расщепляет преимущественно динуклеотиды CA, UA и UG в РНК. В настоящей работе проведен сравнительный анализ эффективности расщепления модельных РНК-субстратов, представляющих собой короткие шпилечные структуры, в которых варьировали размер петли, а также местоположение динуклеотидной последовательности пиримидин–пурин. Выявлено влияние различных ионов двухвалентных металлов и рН на протекание эндорибонуклеазной реакции. Показано, что сайт-специфический гидролиз модельных РНК-субстратов зависит от пространственной структуры субстрата. Кроме того, расщепление РНК происходит в отсутствие ионов двухвалентных металлов, что свидетельствует об изменении каталитического механизма, установленного для реакции гидролиза ДНК-субстратов.

**КЛЮЧЕВЫЕ СЛОВА** AP-эндонуклеаза человека, эндорибонуклеазная активность, субстратная специфичность.

## ВВЕДЕНИЕ

Апуриновая/апиримидиновая эндонуклеаза человека APE1 – один из наиболее изученных ферментов репарации ДНК [1]. Фермент расщепляет фосфодиэфирную связь в ДНК с 5'-стороны от AP-сайта, в результате чего происходит разрыв рибозофосфатного остова с образованием фрагментов цепи, содержащих 3'-гидроксильную группу и 2'-дезоксирибозо-5'-фосфат [2, 3]. Однако фермент способен узнавать не только AP-сайты, но и некоторые поврежденные нуклеотиды, например, 5,6-дигидроуридин, альфа-аномер аденозина и др. [4]. Кроме того, APE1 обладает 3'-фосфодиэстеразной, 3'-фосфатазной [5], а также 3'-5'-экзонуклеазной активностями [6, 7].

Ранее было показано, что APE1 вызывает деградацию цепи РНК в дуплексах ДНК-РНК, т.е. обладает РНКазой Н-подобной активностью [8]. Позднее установили, что APE1 способна расщеплять как РНК, содержащую AP-сайт [9], так и структурирован-

ные протяженные неповрежденные мРНК, например мРНК с-тус [10]. Способность расщеплять РНК показана также на микроРНК, CD44 РНК, РНК-компонентах коронавируса SARS [11]. При этом основным сайтом расщепления неповрежденных фрагментов РНК является фосфодиэфирная связь между динуклеотидами UA, UG и CA в одноцепочечных последовательностях или слабо спаренных участках РНК, тогда как динуклеотиды UC, CU, AC и AU с менее эффективным гидролизом относятся к второстепенным сайтам расщепления [11]. Последовательности, богатые CA-динуклеотидами, известны как мощные энхансеры/сайленсеры сплайсинга [12], поэтому преимущественное расщепление по CA-последовательностям указывает на возможную роль APE1 в сплайсинге мРНК [13, 14].

Таким образом, AP-эндонуклеаза человека выполняет широкий набор функций в клетке. На основе структурных данных, кинетических исследований

и мутационного анализа в настоящее время установлены ключевые этапы взаимодействия APE1 с поврежденной ДНК, содержащей AP-сайт [15–17], некоторые поврежденные [18] и неповрежденные [7] нуклеотиды. Предложен механизм широкой субстратной специфичности AP-эндонуклеазы при взаимодействии с ДНК [18]. Для осуществления катализа в комплексе APE1–ДНК образуются контакты, которые приводят к выворачиванию поврежденного нуклеотида из двойной спирали в активный центр фермента, образованный остатками Asp308, His309, Glu96, Asp210, Tyr171, Asn212 и Asn174. Аминокислотные остатки фермента взаимодействуют преимущественно с одной цепью двойной спирали. В фермент-субстратном комплексе, находящемся в каталитически компетентном состоянии, фосфатная группа, расположенная с 5'-стороны от поврежденного нуклеотида, координирована остатками Asn174, Asn212 и His309. При этом гидролиз фосфодиэфирной связи начинается с нуклеофильной атаки атома фосфора; нуклеофилом при этом выступает кислород молекулы воды, координированной через ион  $Mg^{2+}$  остатком Asp210.

Роль ионов  $Mg^{2+}$  в процессах связывания поврежденной ДНК, ее расщепления и высвобождения продукта реакции активно обсуждалась в ряде работ [19–27]. Интересно отметить, что эффективность гидролиза фосфодиэфирной связи в ДНК, содержащей неактивный аналог AP-сайта (2-оксиметил-3-окси-тетрагидрофуран, F-сайт), уменьшается в ряду  $Mg^{2+} > Mn^{2+} > Ni^{2+} > Zn^{2+} \gg Ca^{2+}, Cu^{2+}$  [16]. Ион  $Ca^{2+}$ , обладающий самым большим ионным радиусом [28], по-видимому, не может правильно координироваться в металлсвязывающем центре фермента и блокирует каталитический процесс. А ингибирующий эффект ионов  $Cu^{2+}$ , скорее всего, связан с сильным взаимодействием ионов  $Cu^{2+}$  с азотистыми основаниями и фосфатными группами как описано ранее [29].

Известно, что для эндорибонуклеазной активности не требуется ионов двухвалентных металлов [11, 30]. Действительно, РНК-расщепляющая активность APE1 наблюдалась и при 10 мМ EDTA, и в присутствии ионов  $Mg^{2+}$ ,  $Ca^{2+}$  и  $Mn^{2+}$ . При этом присутствие ионов  $Zn^{2+}$ ,  $Ni^{2+}$ ,  $Cu^{2+}$  и  $Co^{2+}$ , как и в случае ДНК-субстратов, ингибировало эндорибонуклеазную реакцию. Для выяснения механизма эндорибонуклеазной реакции была исследована активность мутантных форм APE1, несущих замены аминокислотных остатков активного центра N68A, D70A, Y171F, D210N, F266A, D283N, D308A и H309S [30]. Анализ активности данных мутантных форм APE1 по отношению к модельным РНК- и ДНК-субстратам показал, что большинство перечисленных остатков, критических для гидролиза AP-сайта в двухцепочечной ДНК, важны также для осуществления эндорибонуклеазной активности. При этом остаток Asp283, вероятно, не принимает участия в гидролизе РНК-субстрата, поскольку мутантная форма APE1 D283N сохраняла эндорибонуклеазную активность в отсутствие иона металла. Ключевым отличием в каталитическом механизме гидролиза фосфодиэфирной связи у РНК- и ДНК-субстратов является образование разных продуктов реакции:  $3'-PO_4^{2-}$  и  $3'-OH$  в случае РНК и ДНК соответственно [30].

Таким образом, согласно опубликованным данным, каталитические механизмы гидролиза ДНК и РНК ферментом APE1 различаются, однако причины этих различий выяснены не до конца. Неизвестно, например, какое влияние оказывают особенности пространственного строения субстрата и природа ионов металлов на эффективность эндорибонуклеазного гидролиза. Поэтому цель представленной работы состояла в проведении кинетического анализа эндорибонуклеазного гидролиза модельных РНК-субстратов, формирующих шпилечные структуры с размером петли от 2 до 5 нуклеотидов, содержащие в разных положениях петли или стебля динуклеотидные последовательности CA или UA, в отсутствие или в присутствии ионов двухвалентных металлов.

Таким образом, согласно опубликованным данным, каталитические механизмы гидролиза ДНК и РНК ферментом APE1 различаются, однако причины этих различий выяснены не до конца. Неизвестно, например, какое влияние оказывают особенности пространственного строения субстрата и природа ионов металлов на эффективность эндорибонуклеазного гидролиза. Поэтому цель представленной работы состояла в проведении кинетического анализа эндорибонуклеазного гидролиза модельных РНК-субстратов, формирующих шпилечные структуры с размером петли от 2 до 5 нуклеотидов, содержащие в разных положениях петли или стебля динуклеотидные последовательности CA или UA, в отсутствие или в присутствии ионов двухвалентных металлов.

### ЭКСПЕРИМЕНТАЛЬНАЯ ЧАСТЬ

В работе использовали реактивы производства Sigma-Aldrich (США): акриламид, N,N'-метиленисакриламид, дитиотреит, мочевины, глицерин, HEPES, изопропил-β-D-тиогалактопиранозид, Трис, NaCl, NaOH, EDTA, HCl, соли двухвалентных металлов ( $CaCl_2$ ,  $CoCl_2$ ,  $MgCl_2$ ,  $MnCl_2$ ,  $ZnCl_2$ ,  $NiSO_4$ ). Все растворы готовили на дважды дистиллированной воде.

### Фермент APE1

Фермент APE1 был выделен из клеток *Escherichia coli* Rosetta 2, трансформированных плазмидой pET11a, несущей ген AP-эндонуклеазы человека, как описано ранее [15]. Культуру клеток *E. coli* Rosetta 2 выращивали в среде LB (1 л), содержащей 50 мкг/мл ампициллина, при температуре 37°C до оптической плотности среды 0.6–0.7 на длине волны 600 нм. После этого температуру понижали до 20°C и индуцировали транскрипцию вставки, кодирующей белок, добавлением изопропил-β-D-тиогалактопиранозидом до 0.2 мМ. После индукции культуру клеток инкубировали в течение 16 ч. Затем клетки осаждали центрифугированием (10 мин при 12000 об/мин) и готовили суспензию клеток в 30 мл буферного раствора 20 мМ HEPES-NaOH, pH 7.8, 40 мМ NaCl. Лизис клеток проводили при помощи френч-пресса. Все последующие процедуры проводили при 4°C. Полученный клеточный лизат

центрифугировали (40 мин при 30 000 об/мин), супернатант наносили на колонку I (Q-Sepharose Fast Flow, Amersham Biosciences, Швеция) и промывали буферным раствором 20 мМ HEPES-NaOH, pH 7.8, 40 мМ NaCl. Фракции, содержащие белок APE1, собирали и наносили на колонку II (HiTrap-Heparin™, Amersham Biosciences). Хроматографию проводили в буферном растворе I и линейном градиенте 40 → 600 мМ NaCl, оптическую плотность раствора регистрировали на длине волны 280 нм. Степень чистоты белка APE1 определяли с помощью гель-электрофореза. Фракции, содержащие белок APE1, диализовали в буфере 20 мМ HEPES-NaOH, pH 7.5, 1 мМ EDTA, 1 мМ дитиотреит, 250 мМ NaCl, 50% глицерин и хранили при -20°C. Концентрацию фермента рассчитывали из значения оптической плотности белка на длине волны 280 нм и коэффициента молярной экстинкции 56818 М<sup>-1</sup>×см<sup>-1</sup>.

### Олигорибонуклеотиды

Олигорибонуклеотиды получали твердофазным фосфитамидным методом на синтезаторе АСМ-800 («Биоссет», Россия) с использованием соответствующих фосфитамидов 2'-О-трет-бутилдиметилсилильных (2'-О-TBDMS) рибонуклеотидов (ChemGenes, США). Для введения флуоресцеина на 5'-конец использовали фосфитамид флуоресцеина (Glen Research, США). Для получения олигонуклеотидов, содержащих на 3'-конце тушитель флуоресценции BHQ1, использовали соответствующий модифицированный полимерный носитель 3'-BHQ-1 CPG (Black Hole Quencher) (Glen Research, США). Деблокирование олигорибонуклеотидов проводили в стандартных условиях. Деблокированные олигорибонуклеотиды выделяли с помощью препаративного электрофореза в 15% ПААГ в денатурирующих условиях (акриламид : N,N'-метиленабисакриламид (30 : 1), 8 М мочевины, 50 мМ Трис-Н<sub>3</sub>ВО<sub>3</sub>, pH 8.3, 0.1 мМ EDTA). Полосы геля, содержащие продукт, вырезали и элюировали нуклеотидный материал из ПААГ. Измельченный гель помещали в пробирку объемом 2.0 мл, заливали 1–1.5 мл 0.3 М LiClO<sub>4</sub> и выдерживали в течение 16 ч при 25°C и перемешивании с использованием термомиксера Thermomixer Compact (Eppendorf, Германия). Обессоливание олигонуклеотидов проводили на фазе C18 (Waters, США).

Гомогенность олигонуклеотидов и их производных анализировали методом гель-электрофореза в 15% ПААГ в описанных выше условиях. К образцам олигонуклеотидов (~0.05 о.е.) для нанесения на гель добавляли 4–5 мкл раствора 8 М мочевины, содержащего 0.05% ксиленцианолового голубого и 0.05% бромфенолового синего. Для визуализации олигонуклеотидов использовали раствор, приготовленный

из 50 мг красителя Stains-all и 100 мл смеси формид : вода (1 : 1).

Оптическую плотность растворов олигонуклеотидов измеряли на спектрофотометре NanoDrop 1000 (ThermoScientific, США) относительно деионизованной воды. Для расчета концентрации олигонуклеотидов в исходном растворе использовали коэффициент молярного поглощения олигорибонуклеотидов или их конъюгатов при 260 нм. Молярные коэффициенты поглощения флуоресцентно меченных производных олигорибонуклеотидов считали равными сумме значений молярных коэффициентов поглощения олигонуклеотидов и молярного коэффициента поглощения флуоресцеина и тушителя, присоединенного к олигомеру (20900 М<sup>-1</sup>×см<sup>-1</sup> для FAM и 8000 М<sup>-1</sup>×см<sup>-1</sup> для BHQ1). Последовательности модельных олигорибонуклеотидов представлены в табл. 1.

### Кинетические исследования методом «остановленного потока»

Флуоресцентные кинетические кривые были зарегистрированы на спектрометре «остановленного потока» SX.18MV (Applied Photophysics, Великобритания). Эффективность резонансного переноса энергии флуоресценции (FRET) между парой FAM/BHQ1 регистрировали при возбуждении флуоресценции красителя FAM на длине волны 494 нм. FRET-сигнал регистрировали на длинах волн более 530 нм при использовании светофильтра OG-515 (Schott, Германия). Мертвое время прибора составляло 1.38 мс. Каждую кинетическую кривую усредняли, как минимум, по четырем экспериментальным кривым.

### Флуоресцентное титрование

Флуоресцентное титрование было выполнено на флуориметре Cary Eclipse Fluorescence

Таблица 1. Модельные РНК-субстраты, использованные в работе

РНК-субстрат, название	Нуклеотидная последовательность
HP1	5' FAM-r(AUAUAAGAUUAUAU)-BHQ1 3'
HP2	5' FAM-r(AUAUAAGAAUUAUAU)-BHQ1 3'
HP3	5' FAM-r(AUAUAAGAUUAUAUAU)-BHQ1 3'
HP4	5' FAM-r(AUAUAAGAUCAUUAUAU)-BHQ1 3'
HP5	5' FAM-r(AUACAACAUAUUGUAU)-BHQ1 3'
HP6	5' FAM-r(AUAUAACAUAUUAUAU)-BHQ1 3'
L	5' FAM-r(AGAGAGGCAGAGA) 3'

Примечание. FAM – остаток 6-карбоксифлуоресцеина, BHQ1 – тушитель флуоресценции black hole quencher.

Spectrophotometer. Все эксперименты проводили в течение 10 мин, что позволило пренебречь гидролизом РНК-субстратов в ходе титрования. Для этого к 100 мкл  $1.0 \times 10^{-6}$  М раствора РНК-субстрата в буферном растворе (50 мМ Трис-НСl (рН 7.5), 50 мМ NaCl, 1 мМ EDTA, 1 мМ дитиотреит, 9% глицерин) добавляли раствор фермента. Спектр испускания флуоресценции FAM регистрировали при возбуждении на длине волны 494 нм. Для расчета значений констант диссоциации экспериментальные данные обрабатывали в пакете программ DynaFit (BioKin, Pullman, WA) [31] с использованием модели одностадийного связывания.

### Микроскопический термофорез (МСТ)

Определение констант связывания исследуемых субстратов с ферментом APE1 выполнено на приборе Monolith NT.115 (NanoTemper Technologies) с использованием стандартных капилляров (Monolith™ NT.115 Standard Treated Capillaries). Каждая точка на кривых титрования получена путем измерения интенсивности флуоресценции отдельных растворов (10 мкл), содержащих олигонуклеотидный лиганд (0.5 мкМ) и фермент (0.05–30 мкМ) в буферном растворе 50 мМ Трис-НСl (рН 7.5), 50 мМ KCl, 1 мМ EDTA, 1 мМ дитиотреит, 9% глицерин при 25°C. Для расчета значений констант диссоциации экспериментальные данные обрабатывали в пакете программ DynaFit (BioKin, Pullman, WA) [31] с использованием модели одностадийного связывания.

### Кинетический анализ гидролиза РНК-субстратов

Кинетический анализ расщепления модельных РНК-субстратов проводили по следующей методике. К 30 мкл буферного раствора, содержащего субстрат (2 мкМ), добавляли 30 мкл фермента (0.6–4 мкМ) в буферном растворе 50 мМ Трис-НСl (рН 7.5), 50 мМ KCl, 1 мМ EDTA, 1 мМ дитиотреит, 9% глицерин при 25°C. После быстрого перемешивания реакционной смеси через определенные промежутки времени отбирали аликвоты объемом 10 мкл. Реакцию останавливали, добавляя 10 мкл раствора, содержащего 9 М мочевины и 25 мМ EDTA. Электрофорез в 20% ПААГ в денатурирующих условиях (7 М мочевины) проводили в вертикальной термостатируемой камере Protean II xi (Bio-Rad Laboratories, Inc., США) при напряжении 200–300 В и 55°C. Гель визуализировали с помощью гель-документирующей системы E-Box CX.5 TS (Vilber Lourman, Франция). Степень расщепления субстрата определяли в пакете программ Gel-Pro Analyzer 4.0 (Media Cybernetics, США). Степень расщепления рассчитывали как отношение площади пика продукта расщепления к сумме площадей пиков продукта и исходного олигорибонуклеотида.

Предполагаемая ошибка определения степени модификации, как правило, не превышала 20%.

Частичный гидролиз субстрата РНКазы А проводили по следующей методике. Реакционную смесь (20 мкл), содержащую 3.0-мкМ субстрат и 3.0-нМ РНКазу А в буферном растворе 50 мМ Трис-НСl (рН 8.5), 50 мМ NaCl, 1 мМ EDTA, 1 мМ дитиотреит, 9% глицерин, выдерживали в течение 5 мин при 25°C. После этого в реакционную смесь добавляли 20 мкл раствора, содержащего 9 М мочевины и 25 мМ EDTA, и выдерживали в течение 5 мин при 96°C.

## РЕЗУЛЬТАТЫ И ОБСУЖДЕНИЕ

### Дизайн РНК-субстратов

Согласно опубликованным данным [10, 11], APE1 расщепляет в РНК преимущественно динуклеотидные последовательности CA, UA и UG в одноцепочечных или слабо спаренных областях. Кроме того, наблюдали слабое расщепление РНК в сайтах UC, CU, AC и AU [11]. Можно предположить, что для образования каталитического комплекса важна как последовательность пиримидин–пурин, так и структура субстрата, которая может оказывать значительное влияние на узнавание целевого сайта. Действительно, расщепление РНК, наблюдаемое в одноцепочечных областях вблизи стеблей шпильчатых структур [10, 11], может косвенно указывать на значительный вклад именно вторичной структуры субстрата. Поэтому мы использовали ряд модельных РНК-субстратов длиной 14–17 нуклеотидов, представляющих собой короткие шпильчатые структуры, в которых длина стебля была равна шести нуклеотидным парам, а размер петли варьировал от 2 до 5 нуклеотидов; также изменялось местоположение динуклеотида CA или UA в петле или стебле шпильки (рис. 1). Для изучения кинетики расщепления РНК-субстратов методом FRET на 5'- и 3'-концы модельного олигонуклеотида вводили красители FAM и BHQ1 соответственно. Влияние дуплексной части шпильки на эффективность расщепления оценивали с использованием линейного субстрата L длиной 13 нуклеотидов, содержащего один динуклеотид CA. В качестве контроля специфичности гидролиза по динуклеотидам пиримидин–пурин использовали РНКазу А, обладающую специфичностью к пиримидиновым нуклеотидам независимо от их структурного расположения (рис. 1).

Из рис. 1 видно, что для всех субстратов наблюдаются полосы, соответствующие продуктам расщепления по четырём последовательностям UA в стебле. Кроме того, в случае HP3–HP6 появляются дополнительные полосы, соответствующие расщеплению по UA и CA в петлях.

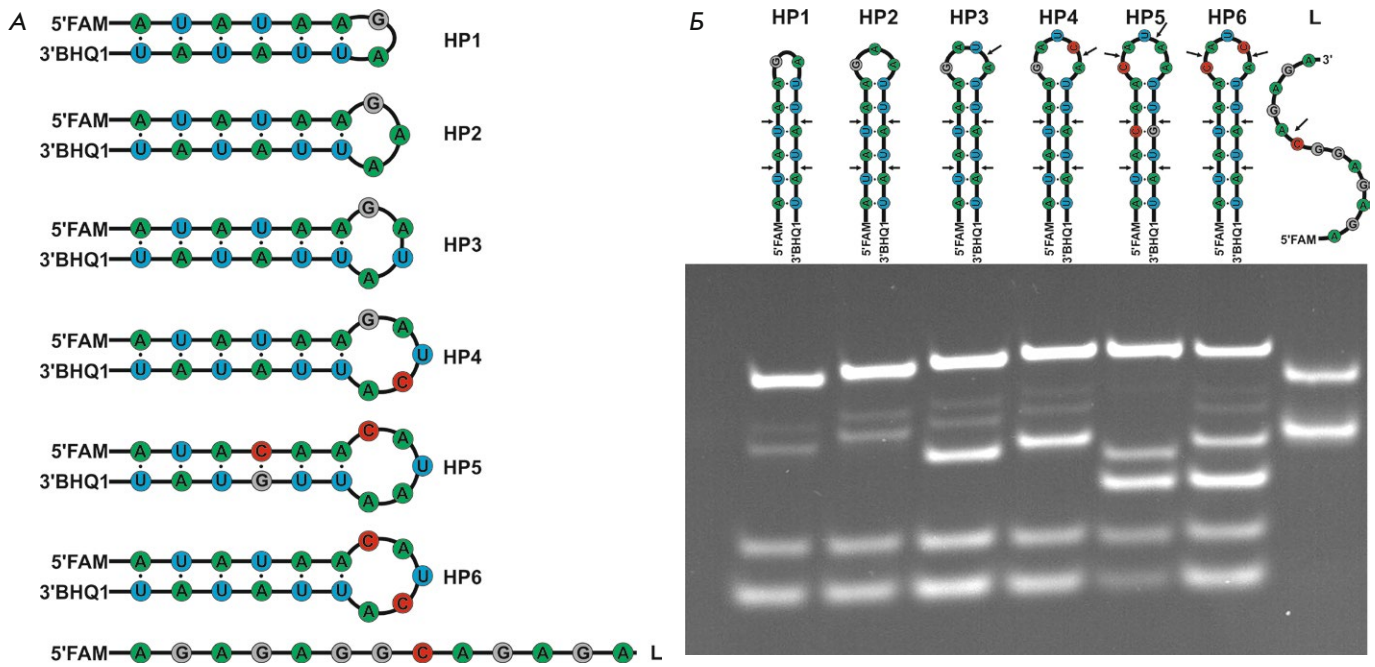


Рис. 1. Модельные РНК-субстраты, используемые в работе (А). Разделение продуктов расщепления РНК-субстратов РНКазой А по пиримидиновым нуклеотидам методом электрофореза в ПААГ, сайт расщепления отмечен стрелкой (Б)

### Влияние ионов двухвалентных металлов и рН на взаимодействие АРЕ1 с РНК-субстратами

На примере РНК-субстрата НР6 показано, что 3'-5'-экзонуклеазная и эндорибонуклеазная реакции протекают в присутствии ионов  $Mg^{2+}$ ,  $Mn^{2+}$  и  $Ni^{2+}$ , тогда как в присутствии  $Ca^{2+}$  и  $Co^{2+}$  происходило в основном накопление продуктов эндорибонуклеазной реакции (рис. 2А и Б). В то же время в присутствии ионов  $Zn^{2+}$  не наблюдали какой-либо активности фермента. Кроме того, повышение рН буфера, содержащего EDTA, до 8.5 приводило к заметному снижению выхода продуктов гидролиза, тогда как понижение рН до 6.5 приводило к появлению побочных продуктов за счет статистического гидролиза.

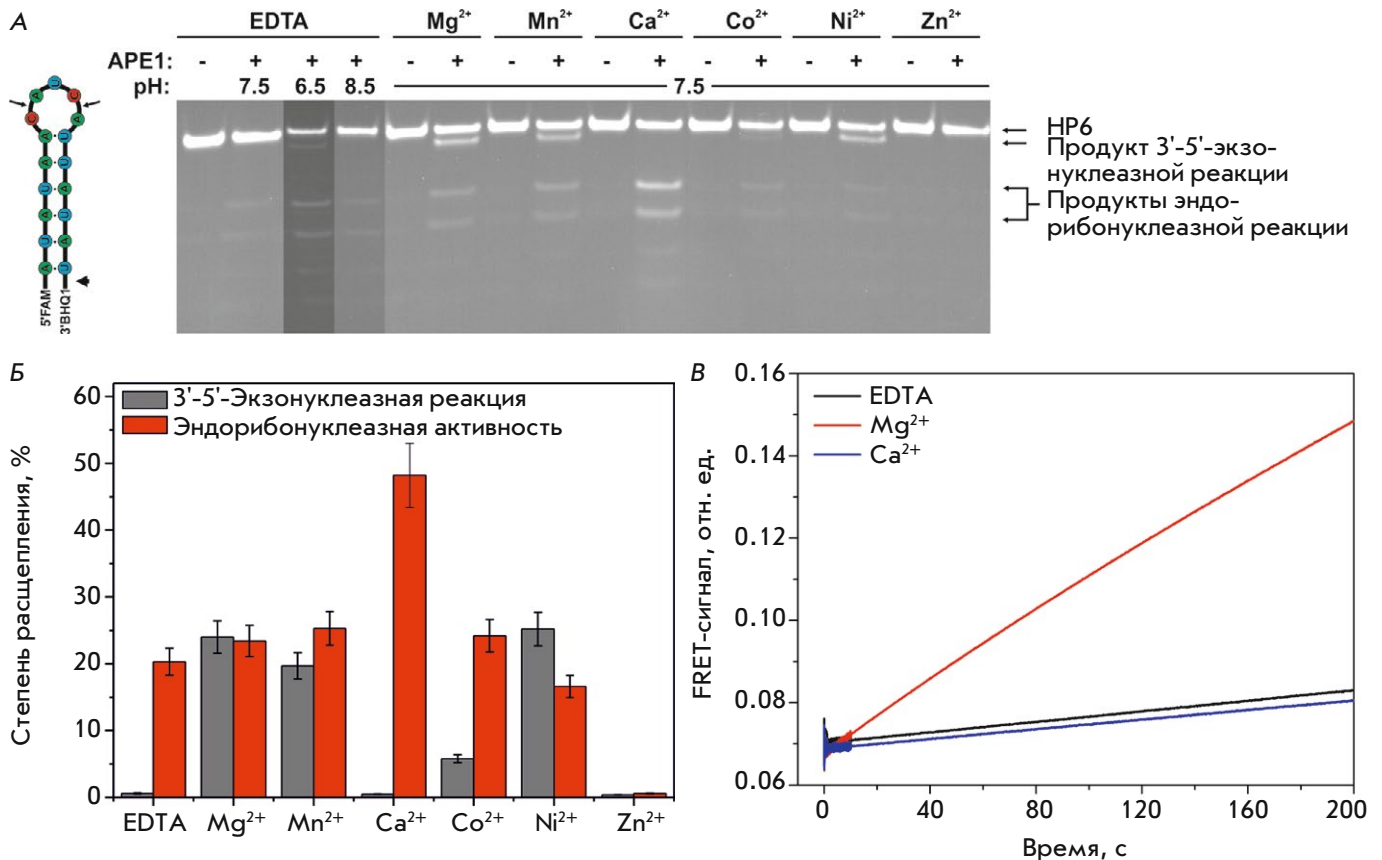
Сравнение кинетических кривых (рис. 2В), характеризующих взаимодействие АРЕ1 с НР6, позволило заключить, что начальные скорости эндорибонуклеазной реакции в присутствии EDTA или ионов  $Ca^{2+}$  имеют близкие значения, тогда как в присутствии ионов  $Mg^{2+}$  интенсивность флуоресценции FAM увеличивается быстрее, по-видимому, за счет протекания 3'-5'-экзонуклеазной реакции. Кроме того, необходимо отметить, что изменение интенсивности флуоресценции FAM в присутствии ионов  $Mg^{2+}$  также может быть связано с образованием каталитического экзонуклеазного комплекса, который приводит к отдалению тушителя ВHQ1, расположенного на 3'-конце, от 5'-концевого остатка FAM.

Интересно, что при взаимодействии с ДНК-субстратом, содержащим F-сайт, активность АРЕ1 увеличивается с ростом рН, а в отсутствие ионов двухвалентных металлов или в присутствии ионов  $Ca^{2+}$  происходило полное блокирование каталитической реакции [16]. Наличие продуктов эндорибонуклеазной активности в аналогичных условиях свидетельствует о протекании реакции гидролиза РНК-субстратов по альтернативному металл-независимому каталитическому механизму.

На основании полученных данных (рис. 2) для анализа различных типов активности фермента в дальнейших экспериментах с различными РНК-субстратами использовали три буферных раствора (рН 7.5), содержащих 5 мМ  $MgCl_2$ , 5 мМ  $CaCl_2$  или 1 мМ EDTA.

### Гидролиз РНК-субстратов под действием АРЕ1 в присутствии EDTA

При взаимодействии АРЕ1 с модельными РНК-субстратами в отсутствие ионов двухвалентных металлов наблюдается накопление продуктов эндорибонуклеазной реакции для РНК-субстратов НР3–НР6, содержащих в петлевой части СА- или УА-динуклеотид (рис. 3). Действительно, сравнение сайтов расщепления РНК-субстратов РНКазы А, статистически расщепляющей РНК по всем пиримидиновым нуклеотидам, свидетельствует о том,



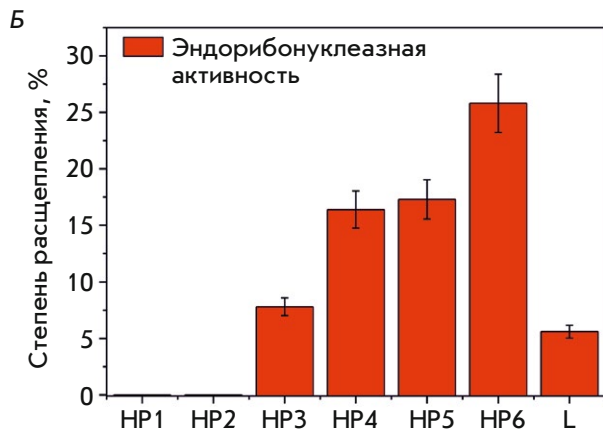
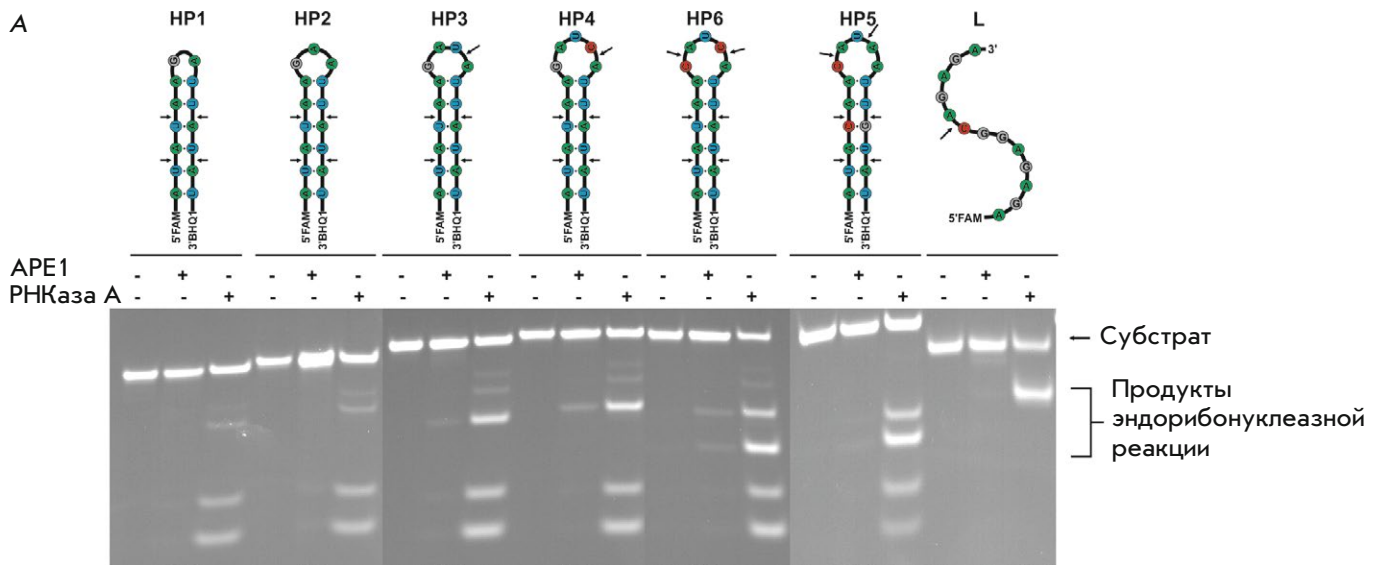
**Рис. 2.** Расщепление РНК-субстрата НР6 под действием АРЕ1 в присутствии различных ионов двухвалентных металлов и рН. А – анализ продуктов реакции методом электрофореза в ПААГ; нуклеотид, по которому происходит расщепление, отмечен стрелкой. Б – степень расщепления РНК-субстрата в присутствии ионов различных двухвалентных металлов. [АРЕ1] = 2 мкМ, [РНК] = 1 мкМ, [EDTA/Me<sup>2+</sup>] = 1/5 мМ, T = 25°C, время реакции 1 ч. В – изменение FRET-сигнала в процессе взаимодействия АРЕ1 с НР6, [АРЕ1] = 2 мкМ, [РНК] = 1 мкМ, [EDTA/Me<sup>2+</sup>] = 1/5 мМ, T = 25°C

что динуклеотиды UA в составе дуплексной части шпильки не узнаются AP-эндонуклеазой в качестве сайтов расщепления. При этом в отсутствие ионов двухвалентных металлов АРЕ1 не катализирует 3'-5'-экзонуклеазную реакцию ни с одним из использованных РНК-субстратов (рис. 3).

Интересно, что наиболее эффективным субстратом, расщепление которого достигает 25%, является шпилька НР6, содержащая два сайта расщепления СА (рис. 3Б). При этом, оба сайта, согласно данным гель-электрофореза, имеют близкую степень расщепления, что указывает на независимость эффективности расщепления от положения динуклеотида СА в петле. В то же время при взаимодействии АРЕ1 с НР4, содержащим один динуклеотид СА, степень расщепления достигает 16%. Шпилька НР5 содержит в петле динуклеотиды UA и СА с суммарной степенью расщепления 17%. Однако расщепление по динуклеотиду UA протекает значительно хуже, чем по СА (рис. 3), что также согласуется с небольшой

(8%) степенью расщепления НР3, который содержит один динуклеотид UA. Однако при сравнении эффективности расщепления данных субстратов необходимо учитывать не только СА/UA-контекст гидролизуемой фосфодиэфирной связи, но также структуру субстрата, включающую как разный размер петли, так и разное положение гидролизуемой связи в этой петле. Поскольку сайт расщепления у шпилек НР3 (UA) и НР4 (СА) расположен в одном месте относительно стебля, то можно предположить, что петля в шпильке НР4, содержащая 5 нуклеотидов, легче адаптируется в субстратсвязывающем центре фермента по сравнению со шпилькой НР3, содержащей 4 нуклеотида в петле. При этом шпилька НР5, также содержащая 5 нуклеотидов в петле, отличается от НР4 расположением сайтов расщепления, что, по-видимому, затрудняет эффективное образование каталитического комплекса в случае НР5.

Линейный субстрат также имеет небольшую степень расщепления (около 5%), что свидетель-



**Рис. 3.** Расщепление РНК-субстратов под действием APE1 в присутствии 1 мМ EDTA. А – анализ продуктов реакции методом электрофореза в ПААГ; нуклеотид, по которому происходит расщепление, отмечен стрелкой. Б – степень расщепления РНК-субстратов, [APE1] = 2 мкМ, [РНК] = 1 мкМ, T = 25°C, время реакции 1 ч

ствует о важной роли двухцепочечной части РНК-субстратов при образовании каталитического фермент-субстратного комплекса.

### Связывание РНК-субстратов APE1 в присутствии EDTA

Низкая степень расщепления РНК-субстратов в течение 1 ч реакции (рис. 3) позволила провести эксперименты по флуоресцентному титрованию субстратов ферментом и оценить величину константы диссоциации фермент-субстратного комплекса. На рис. 4А представлена зависимость интенсивности флуоресценции на длине волны 520 нм от концентрации фермента. Для субстратов HP1–HP6, содержащих пару FAM/BHQ1, наблюдали рост FRET-сигнала при образовании фермент-субстратного комплекса. При этом в случае линейного L-субстрата, содержащего только 5'-остаток FAM, наблюдали тушение интенсивности флуоресценции. Такое различие в изменении интенсивности флуоресценции FAM может быть обусловлено связыванием фермента со шпильчатыми структурами не только со стороны пет-

ли, но и с 5'/3'-концевым участком. При этом присутствие в реакционных смесях продуктов эндорибонуклеазного гидролиза свидетельствует о связывании с петельной частью субстрата, а наличие продуктов 3'-5'-экзонуклеазной деградации подтверждает образование альтернативного комплекса с 5'/3'-концевым участком. Так как тушитель BHQ1 расположен на 3'-конце шпилек, то повышение интенсивности флуоресценции FAM для субстратов HP1–HP6, содержащих пару FAM/BHQ1, может быть обусловлено отдалением в пространстве остатков FAM и BHQ1 при образовании фермент-субстратного комплекса с 5'/3'-концевым участком. В случае L-субстрата, в котором отсутствует тушитель BHQ1, снижение интенсивности флуоресценции FAM происходит при образовании комплекса с молекулой фермента. Были рассчитаны значения констант диссоциации  $K_d$  (табл. 2).

Проведено дополнительное исследование связывания APE1 с субстратами с помощью микроскопического термифореза (МСТ) (рис. 4Б), рассчитаны соответствующие константы диссоциации  $K_d$  (табл. 2).

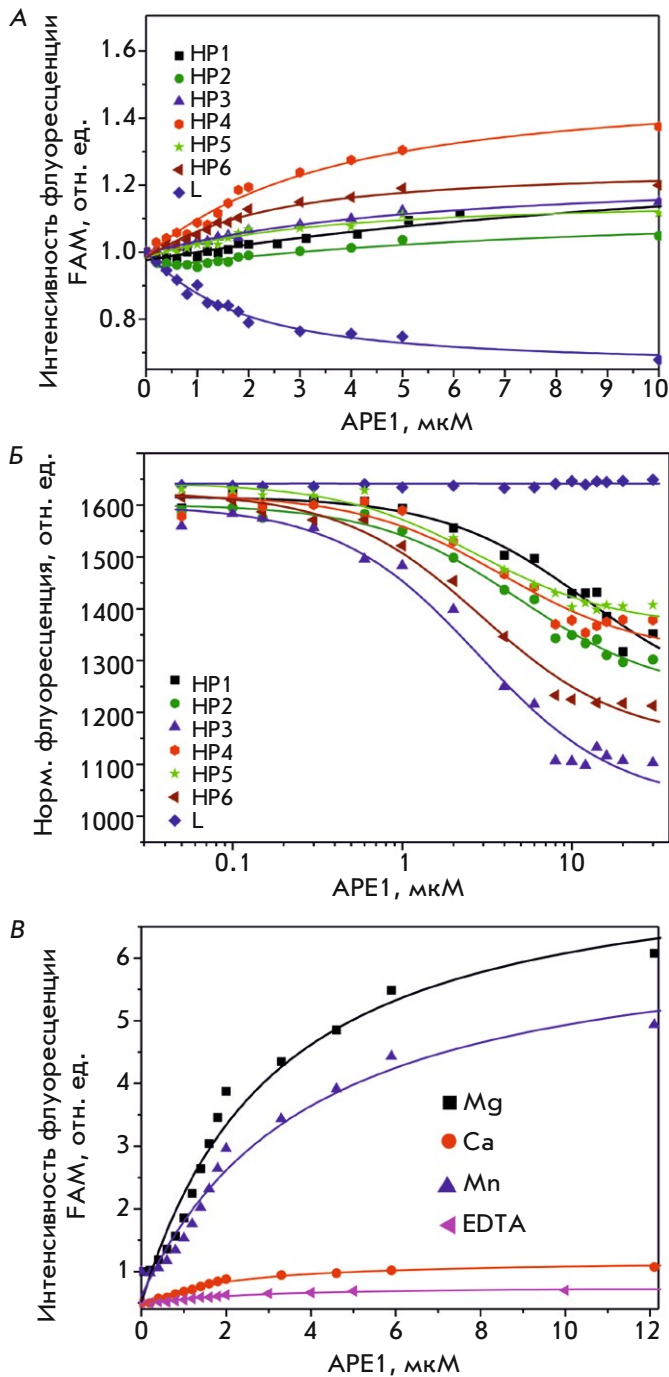


Рис. 4. Определение константы диссоциации  $K_d$  фермент-субстратных комплексов методом флуоресцентного титрования (А, В) и методом микроскопического термофореза (Б)

Однако полученная методом МСТ кривая титрования L-субстрата не позволила определить  $K_d$  данным методом из-за низкого соотношения сигнал/шум. Сравнение констант диссоциации (табл. 2) выявило хорошее соответствие значений, полученных разными

Таблица 2. Значение константы диссоциации  $K_d$

Субстрат	Буфер	$K_d$ , мкМ	
		флуоресцентное титрование	МСТ
HP1	EDTA	$13.5 \pm 8.2$	$12.1 \pm 4.3$
HP2	-«-	$7.8 \pm 5.5$	$4.6 \pm 0.9$
HP3	-«-	$4.9 \pm 1.1$	$2.6 \pm 0.6$
HP4	-«-	$3.0 \pm 0.7$	$3.6 \pm 1.3$
HP5	-«-	$3.1 \pm 1.0$	$2.5 \pm 0.6$
HP6	-«-	$2.2 \pm 0.5$	$2.7 \pm 0.5$
	$Mg^{2+}$	$2.8 \pm 0.6$	-
	$Ca^{2+}$	$1.6 \pm 0.3$	-
L	$Mn^{2+}$	$3.6 \pm 0.8$	-
	EDTA	$1.5 \pm 0.3$	-

ми методами. Таким образом, анализ стабильности фермент-субстратных комплексов методами флуоресцентного титрования и МСТ показывает, что образование комплекса APE1 с HP1 и HP2, которые имеют короткую петлю и не содержат специфический динуклеотид в петле, характеризуется наибольшими значениями констант диссоциации. При этом комплексы фермента с субстратами HP3–HP6 имеют близкие значения констант диссоциации, лежащие в диапазоне 2.2–4.9 мкМ.

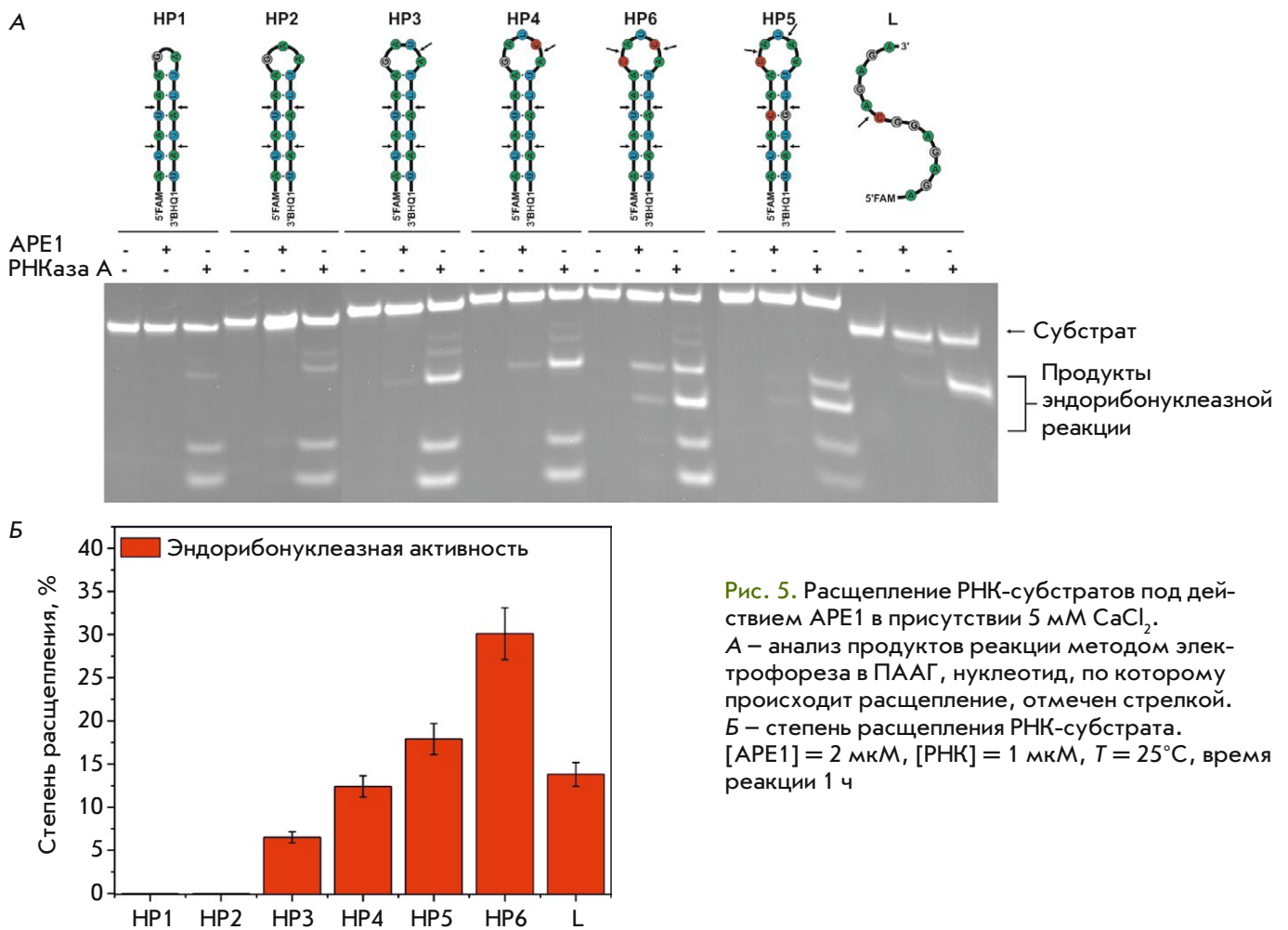
Кроме того, были оценены величины константы диссоциации комплекса, содержащего HP6 в качестве субстрата, в присутствии ионов двухвалентных металлов (рис. 4В, табл. 2). Сильное тушение флуоресценции субстрата в присутствии  $Co^{2+}$ ,  $Ni^{2+}$ ,  $Zn^{2+}$  не позволило определить величину  $K_d$ , тогда как уменьшение величины  $K_d$ , наблюдаемое в присутствии  $Ca^{2+}$ , может свидетельствовать о стабилизации фермент-субстратного комплекса.

#### Гидролиз РНК-субстратов под действием APE1 в присутствии ионов $Ca^{2+}$

Взаимодействие APE1 с РНК-субстратами в присутствии ионов  $Ca^{2+}$  приводило к увеличению эффективности гидролиза по специфическим сайтам СА в петлевой части шпильки HP6 и линейном субстрате по сравнению с условиями в отсутствие ионов двухвалентных металлов (рис. 5). Интересно отметить, что в случае HP4 ионы  $Ca^{2+}$  вызывали лишь небольшое уменьшение активности APE1 и не влияли при использовании HP3 и HP5 в качестве субстратов. По-видимому, данные эффекты могут быть обусловлены небольшим влиянием ионов  $Ca^{2+}$  на константу диссоциации фермент-субстратного комплекса, что согласуется с данными флуоресцентного титрования (табл. 2).

Определена кинетика накопления продуктов эндорибонуклеазной активности APE1 на РНК-субстрате



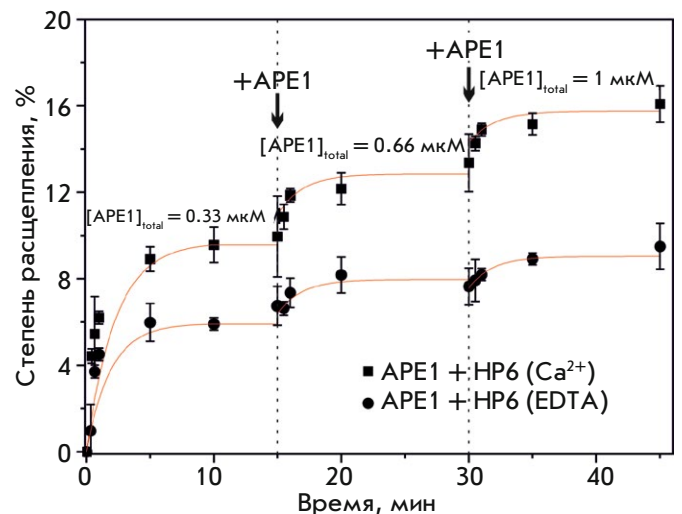


**Рис. 5.** Расщепление РНК-субстратов под действием APE1 в присутствии 5 мМ CaCl<sub>2</sub>. А – анализ продуктов реакции методом электрофореза в ПААГ, нуклеотид, по которому происходит расщепление, отмечен стрелкой. Б – степень расщепления РНК-субстрата. [APE1] = 2 мкМ, [РНК] = 1 мкМ, T = 25°C, время реакции 1 ч

HP6 в отсутствие ионов двухвалентных металлов и в присутствии ионов Ca<sup>2+</sup> (рис. 6). Интересно, что в условиях трехкратного избытка субстрата степень расщепления субстрата выходила на плато в течение 15 мин (около 5 и 9% в присутствии EDTA и CaCl<sub>2</sub> соответственно). Низкая степень расщепления может свидетельствовать как о неэффективности образования каталитического комплекса, так и о прочном связывании фермента с продуктами реакции. Действительно, добавление новой порции фермента в реакционную смесь приводило к дополнительному накоплению продуктов реакции, что свидетельствует о том, что после осуществления каталитического акта APE1 остается связанным с РНК-продуктом.

### Гидролиз РНК-субстратов под действием APE1 в присутствии MgCl<sub>2</sub>

При взаимодействии APE1 с РНК-субстратами в буфере, содержащем MgCl<sub>2</sub>, происходило накопление



**Рис. 6.** Кинетическая кривая накопления продуктов расщепления HP6 при взаимодействии с APE1 в присутствии 1 мМ EDTA и 5 мМ CaCl<sub>2</sub>, [РНК] = 1 мкМ

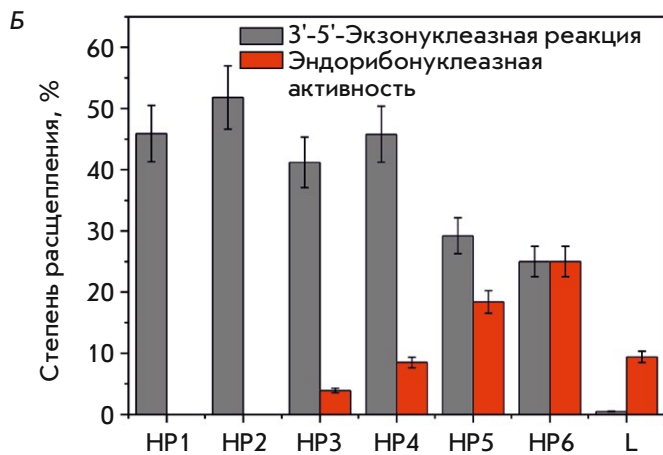
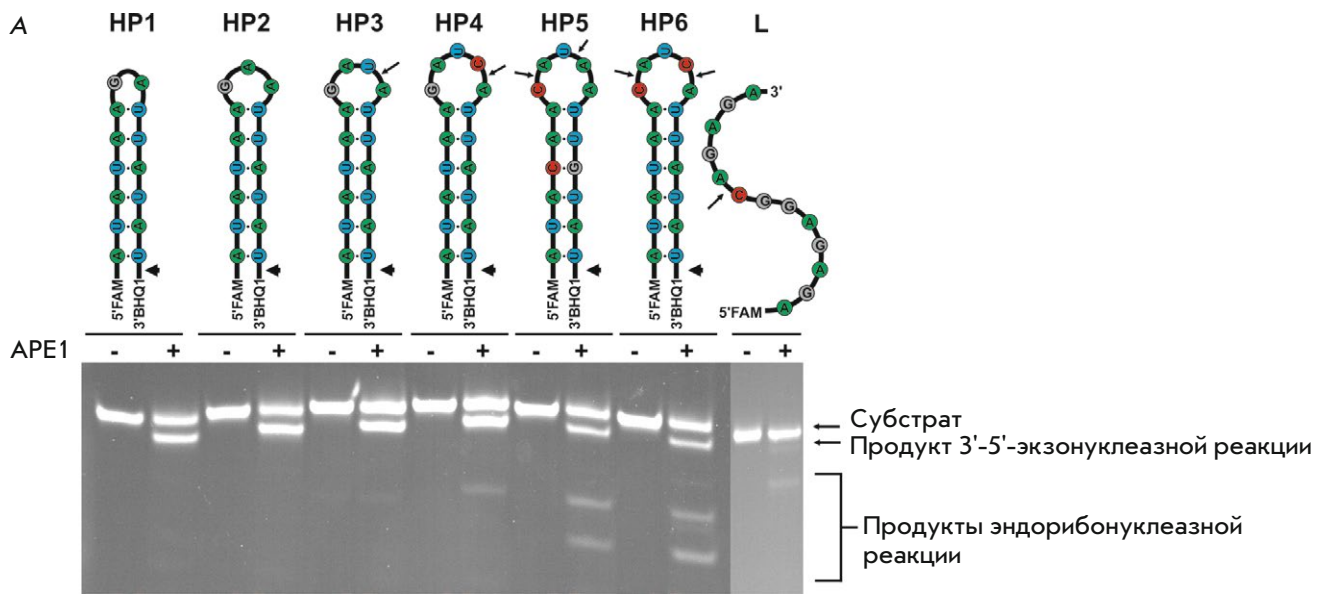
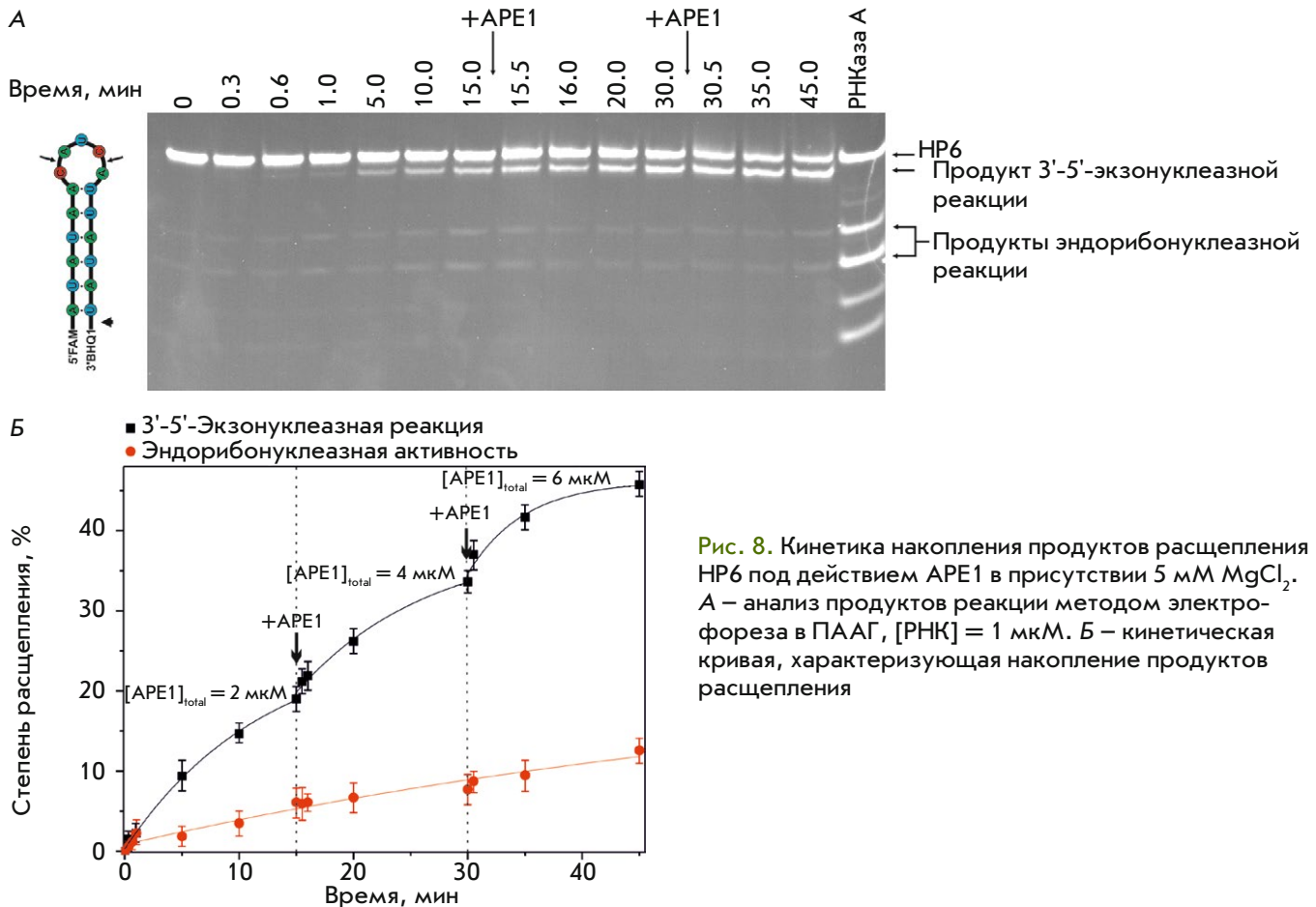


Рис. 7. Эффективность расщепления РНК-субстратов под действием APE1 в присутствии 5 мМ MgCl<sub>2</sub>. А – анализ продуктов реакции методом электрофореза в ПААГ; нуклеотид, по которому происходит расщепление, отмечен стрелкой. Б – степень расщепления РНК-субстрата. [APE1] = 2 мкМ, [РНК] = 1 мкМ, T = 25°С, время реакции 1 ч

продуктов как эндорибонуклеазной, так и 3'-5'-экзонуклеазной реакции (рис. 7). Образование продуктов эндорибонуклеазной реакции не наблюдали при использовании субстратов HP1 и HP2 с петлей минимального размера (2 и 3 нуклеотида соответственно), не содержащей специфической последовательности пиримидин-пурин. При этом продукты, образующиеся за счет эндорибонуклеазной активности APE1 на субстратах HP3-HP6, соответствовали расщеплению динуклеотидов СА и UA в составе петли. Протекание 3'-5'-экзонуклеазной реакции зарегистрировано на всех шпильчных РНК-субстратах, содержащих 3'-BHQ1. Эта реакция приводит к удалению остатка BHQ1 с 3'-конца, что сопровождалось характерным увеличением подвижности экзопродукта в ПААГ (рис. 7).

Анализ кинетики накопления продуктов эндонуклеазной реакции превращения РНК-субстратов в присутствии ионов Mg<sup>2+</sup> показал, что отщепление 3'-концевого BHQ1 происходит бо-

лее эффективно, чем расщепление в петле (рис. 8). При этом повторное добавление фермента в реакционную смесь приводило к увеличению скорости накопления продукта экзонуклеазной реакции, но не экзонуклеазного расщепления (рис. 8Б). Такое отличие может свидетельствовать о том, что на шпильке расположено несколько сайтов связывания фермента. AP-эндонуклеаза прочно связывается с петлевой частью шпильки для осуществления медленной экзонуклеазной реакции. В этом случае добавление дополнительного фермента в реакционную смесь приводит к дополнительному связыванию только вакантного противоположного конца, несущего красителя FAM/BHQ1, что сопровождается экзонуклеазной реакцией. Можно также предположить, что образование каталитического комплекса с 5'/3'-концевым участком HP6 в присутствии ионов Mg<sup>2+</sup> создает стерические затруднения для образования каталитического комплекса с петлей.



**Рис. 8.** Кинетика накопления продуктов расщепления HR6 под действием APE1 в присутствии 5 мМ MgCl<sub>2</sub>. А – анализ продуктов реакции методом электрофореза в ПААГ, [РНК] = 1 мкМ. Б – кинетическая кривая, характеризующая накопление продуктов расщепления

### ЗАКЛЮЧЕНИЕ

В работе проведен анализ взаимодействия АР-эндонуклеазы человека APE1 с модельными РНК-субстратами различной структуры. Показано, что APE1 эффективно связывает как линейный РНК-субстрат, так и РНК-субстраты, формирующие шпильку. При этом эндорибонуклеазное расщепление субстратов происходило в петлевых фрагментах по последовательностям СА и UA. Эффективность расщепления по динуклеотиду UA меньше, чем динуклеотида СА. Однако при сравнении эффективности расщепления данных субстратов необходимо учитывать не только СА/UA-нуклеотидный контекст гидролизуемой фосфодиэфирной связи, но также структуру субстрата, включающую как размер петли, так и положение гидролизуемой связи в этой петле. Поскольку сайт расщепления у шпилек HR3 (UA) и HR4 (CA) расположен в одном месте относительно стебля, то на основе полученных данных можно предположить, что петля в шпильке HR4, содержащая 5 нуклеотидов, легче адаптируется в субстратсвязывающем центре фермента по сравнению со шпилькой HR3, содержащей 4 нуклеотида в петле. При этом шпилька HR5 (CA/UA), так-

же содержащая 5 нуклеотидов в петле, отличается от HR4 расположением сайтов расщепления, что, по-видимому, затрудняет эффективное образование каталитического комплекса в случае HR5. Таким образом, можно сделать заключение, что образование каталитического фермент-субстратного комплекса зависит как от конформационной напряженности петли РНК-субстрата, имеющего форму шпилеки, так и от контекста и местоположения гидролизуемой фосфодиэфирной связи. Следует отметить, что степень расщепления линейного субстрата L также была низкой по сравнению со шпилечными субстратами HR4–HR6. На основании этого можно предположить, что структурированная дуплексная часть шпилеки играет важную роль при формировании неспецифических контактов в активном центре фермента, необходимых для образования каталитического комплекса. ●

*Работа выполнена при поддержке гранта РФФИ № 19-74-10034 и частичной поддержке бюджетного финансирования для обеспечения регламентных работ на использованном оборудовании № АААА-А17-117020210022-4.*

СПИСОК ЛИТЕРАТУРЫ

1. Li M., Wilson 3rd D.M. // *Antioxid Redox Signal.* 2014. V. 20. № 4. P. 678–707.
2. Demple B., Sung J.-S. // *DNA Repair.* 2005. V. 4. P. 1442–1449.
3. Дырхеева Н.С., Ходырева С.Н., Лаврик О.И. // *Молекуляр. биология.* 2007. Т. 41. № 3. С. 450–466.
4. Gros L., Ishchenko A.A., Ide H., Elder R.H., Saparbaev M.K. // *Nucl. Acids Res.* 2004. V. 32. № 1. P. 73–81.
5. Chen D.S., Herman T., Demple B. // *Nucl. Acids Res.* 1991. V. 19. № 21. P. 5907–5914.
6. Chou K.-M., Cheng Y.-C. // *J. Biol. Chem.* 2003. V. 278. № 20. P. 18289–18296.
7. Kuznetsova A., Fedorova O., Kuznetsov N. // *Molecules.* 2018. V. 23. № 9. P. 2101.
8. Barzilay G., Hickson I.D. // *Bioessays.* 1995. V. 17. № 8. P. 713–719.
9. Berquist B.R., McNeill D.R., Wilson 3rd D.M. // *J. Mol. Biol.* 2008. V. 379. № 1. P. 17–27.
10. Barnes T., Kim W.C., Mantha A.K., Kim S.E., Izumi T., Mitra S., Lee C.H. // *Nucl. Acids Res.* 2009. V. 37. № 12. P. 3946–3958.
11. Kim W.C., King D., Lee C.H. // *Int. J. Biochem. Mol. Biol.* 2010. V. 1. № 1. P. 12–25.
12. Black D.L. // *Annu. Rev. Biochem.* 2003. V. 72. № 1. P. 291–336.
13. Kuninger D.T., Izumi T., Papaconstantinou J., Mitra S. // *Nucl. Acids Res.* 2002. V. 30. № 3. P. 823–829.
14. Rossbach O., Hung L.-H., Schreiner S., Grishina I., Heiner M., Hui J., Bindereif A. // *Mol. Cell. Biol.* 2009. V. 29. № 6. P. 1442–1451.
15. Мирошникова А.Д., Кузнецова А.А., Кузнецов Н.А., Федорова О.С. // *Acta Naturae.* 2016. V. 8. № 1. P. 106–113.
16. Miroshnikova A.D., Kuznetsova A.A., Vorobjev Y.N., Kuznetsov N.A., Fedorova O.S. // *Mol. BioSyst.* 2016. V. 12. № 5. P. 1527–1539.
17. Alekseeva I.V., Bakman A.S., Vorobjev Y.N., Fedorova O.S., Kuznetsov N.A. // *J. Phys. Chem. B.* 2019. V. 123. № 45. P. 9546–9556.
18. Kuznetsova A.A., Matveeva A.G., Milov A.D., Vorobjev Y.N., Dzuba S.A., Fedorova O.S., Kuznetsov N.A. // *Nucl. Acids Res.* 2018. V. 46. № 21. P. 11454–11465.
19. Gorman M.A., Morera S., Rothwell D.G., de La Fortelle E., Mol C.D., Tainer J.A., Hickson I.D., Freemont P.S. // *EMBO J.* 1997. V. 16. № 21. P. 6548–6558.
20. Beernink P.T., Segelke B.W., Hadi M.Z., Erzberger J.P., Wilson 3rd D.M., Rupp B. // *J. Mol. Biol.* 2001. V. 307. № 4. P. 1023–1034.
21. Manvilla B.A., Pozharski E., Toth E.A., Drohat A.C. // *Acta Crystallogr. D Biol. Crystallogr.* 2013. V. 69. Pt 12. P. 2555–2562.
22. Lipton A.S., Heck R.W., Primak S., McNeill D.R., Wilson 3rd D.M., Ellis P.D. // *J. Am. Chem. Soc.* 2008. V. 130. № 29. P. 9332–9341.
23. Oezguen N., Schein C.H., Peddi S.R., Power T.D., Izumi T., Braun W. // *Proteins.* 2007. V. 68. № 1. P. 313–323.
24. Masuda Y., Bennett R.A., Demple B. // *J. Biol. Chem.* 1998. V. 273. № 46. P. 30360–30365.
25. Erzberger J.P., Wilson 3rd D.M. // *J. Mol. Biol.* 1999. V. 290. № 2. P. 447–457.
26. He H., Chen Q., Georgiadis M.M. // *Biochemistry.* 2014. V. 53. № 41. P. 6520–6529.
27. Mol C.D., Izumi T., Mitra S., Tainer J.A. // *Nature.* 2000. V. 403. № 6768. P. 451–456.
28. Shannon R.D. // *Acta Cryst.* 1976. V. 32. P. 751–767.
29. Duguid J., Bloomfield V.A., Benevides J., Thomas G.J. // *Biophys. J.* 1993. V. 65. № 5. P. 1916–1928.
30. Kim W.-C., Berquist B.R., Chohan M., Uy C., Wilson D.M., Lee C.H. // *J. Mol. Biol.* 2011. V. 411. № 5. P. 960–971.
31. Kuzmic P. // *Anal. Biochem.* 1996. V. 237. P. 260–273.